## Einführung in die theoretische Kern- und Teilchenphysik Vorlesung 2: Das Fermi-Gas-Modell

#### Hendrik van Hees

Goethe University Frankfurt







#### Outline

Quantenmechanik-Review

Teilchen im Kasten

Fermi-Gas-Modell für Kerne

# Quantenmechanik-Review

Literatur: [ST93, Fic79]

## Nichtrelativistische Quantenmechanik (Kinematik)

- lacktriangle (Reine) Zustände: Zustandsvektoren  $|\psi\rangle$  in Hilbertraum  ${\mathcal H}$
- $\blacktriangleright$   $\mathcal{H}$ : komplexer Vektorraum mit Skalarprodukt  $\langle \psi_1 | \psi_2 \rangle = \langle \psi_2 | \psi_1 \rangle^*$
- ► Observablen: Selbstadjungierte lineare Operatoren  $\mathbf{A}: \mathcal{H} \to \mathcal{H}$ , d.h.  $\mathbf{A}^{\dagger} = \mathbf{A}$ ; i.a.  $\langle \psi_1 | \mathbf{A} \psi_2 \rangle = \langle \mathbf{A}^{\dagger} \psi_1 | \psi_2 \rangle$
- ► Mögliche Messwerte: Eigenwerte von A; reell; Eigenvektoren orthonormiert

$$\langle a_1 \, | \, a_2 \rangle = \begin{cases} \delta_{a_1,a_2} & \text{für diskrekte Eigenwerte,} \\ \delta(a_1-a_2) & \text{für kontinuierliche Eigenwerte} \end{cases}$$

- ightharpoonup zwei Observablen gleichzeitig scharf determinierbar, wenn [A, B] = AB BA = 0
- dann existieren gemeinsame vollständige Eigensysteme von Eigenvektoren
- ▶  $(A_1,...,A_n)$ : vollständiger Satz kompatibler Observabler  $\Leftrightarrow |a_1,...,a_n\rangle$  bis auf Phasenfaktor eindeutig bestimmt
- Phasenfaktoren irrelevant

### Nichtrelativistische Quantenmechanik (Kinematik)

**Bornsche Regel**: falls System in Zustand  $|\psi\rangle$  mit  $\langle\psi|\psi\rangle = 1$  präpariert, dann ist

$$P(a_1,\ldots,a_n) = \left|\left\langle a_1,\ldots,a_n \mid \psi \right\rangle\right|^2$$

Wahrscheinlichkeit (diskrete Eigenwerte) bzw. Wahrscheinlichkeitsdichte (kontinuierliche Eigenwerte), die Werte  $(a_1, \ldots, a_n)$  zu erhalten

▶ Vollständigkeit der  $|a_1,...,a_n\rangle \Rightarrow$  "vollständiges Orthonormalsystem (VONS)"

$$\sum d^n a |a_1, \dots a_n\rangle \langle a_1, \dots a_n| = 1$$

- selbstadjungierte Operatoren: diskrete und kontinuierliche Eigenwerte
- ► Vollständigkeitsrelation: Summe (Integral) über diskrete (kontinuierliche) Eigenwerte
- $\blacktriangleright$  im kontinuierlichen Spektrum "auf  $\delta$ -Distributionen normiert"

## Nichtrelativistische Quantenmechanik (Dynamik)

- ► Hamilton-Operator: H (repräsentiert Gesamtenergie des Systems)
- Zeitentwicklung des Zustandes (Schrödinger-Bild)

$$i\hbar \partial_t |\psi(t)\rangle = \mathbf{H} |\psi(t)\rangle$$

- ▶ Observablen-Operatoren zeitunabhängig (allenfalls "explizite Zeitabhängigkeit"
- Falls H nicht explizit zeitabhängig

$$|\psi(t)\rangle = \exp(-i\mathbf{H}t/\hbar)|\psi_0\rangle = \mathbf{U}(t)|\psi_0\rangle$$

- ightharpoonup U unitär:  $U^{\dagger} = U^{-1}$
- falls  $|\psi_0\rangle = |E\rangle$  Energieeigenzustand zum Eigenwert E

$$|\psi(t)\rangle = \exp(-iEt/\hbar)|\psi_0\rangle$$

► Phasenfaktor irrelevant ⇒ Wahrscheinlichkeiten zeitunabhängig

Hendrik van Hees

$$P(t, a_1, ..., a_n) = \left| \left\langle a_1, ..., a_n \middle| \psi(t) \right\rangle \right|^2 = \left| \left\langle a_1, ..., a_n \middle| \exp(-iEt/\hbar) \psi_0 \right\rangle \right|^2$$
$$= \left| \exp(-iEt/\hbar) \right|^2 \left| \left\langle a_1, ..., a_n \middle| \psi_0 \right\rangle \right|^2 = P_0(a_1, ..., a_n)$$

#### Wellenmechanik

- ightharpoonup Quantisierung eines klassischen Teilchens: Observablen Funktionen aus  $ec{\mathbf{x}}$  und  $ec{\mathbf{p}}$
- $[\mathbf{x}_j, \mathbf{x}_k] = 0$ ,  $[\mathbf{p}_j, \mathbf{p}_k] = 0$ ,  $[\mathbf{x}_j, \mathbf{p}_k] = i\hbar \delta_{jk}$  (Heisenberg-Algebra)
- ▶ Relation zum Noether-Theorem:  $\vec{p}$  erzeugt Translationen  $\Leftrightarrow$  Impuls in abgeschlossenen Systemen erhalten
- ▶ Ortsdarstellung:  $|x_1, x_2, x_3\rangle = |\vec{x}\rangle$  VONS von gemeinsamen Eigenvektoren von  $\mathbf{x}_k$
- ► kontinuierliche Eigenwerte:  $\vec{x} \in \mathbb{R}^3$ ,  $\langle \vec{x} \mid \vec{y} \rangle = \delta^{(3)}(\vec{x} \vec{y})$
- Vollständigkeit

$$\int_{\mathbb{R}^3} \mathbf{d}^3 x \, |\vec{x}\rangle \, \langle \vec{x}| = \mathbb{1}$$

#### Wellenmechanik

- Quantisierung eines klassischen Teilchens: Observablen Funktionen von  $\vec{x}$  und  $\vec{p}$
- $[\mathbf{x}_i, \mathbf{x}_k] = 0, \quad [\mathbf{p}_i, \mathbf{p}_k] = 0, \quad [\mathbf{x}_i, \mathbf{p}_k] = i\hbar \delta_{ik}$  (Heisenberg-Algebra)
- NB: Poisson-Klammern der klassischen Hamiltonschen Mechanik für Phasenraumfunktionen  $f(\vec{x}, \vec{p})$

$$\{f,g\}_{\text{pb}} = \frac{\partial f}{\partial x_j} \frac{\partial g}{\partial p_j} - \frac{\partial g}{\partial x_j} \frac{\partial f}{\partial p_j}$$

- $\{x_j, x_k\}_{pb} = 0, \{p_j, p_k\}_{pb} = 0, \{x_j, p_k\}_{pb} = \delta_{jk}$
- ► Heuristisches Verfahren: kanonische Quantisierung:  $\{A, B\}_{pb} \mapsto \frac{1}{i\hbar} [\mathbf{A}, \mathbf{B}]$
- ▶ Relation zum Noether-Theorem:  $\vec{p}$  erzeugt Translationen  $\Leftrightarrow$  Impuls in abgeschlossenen Systemen erhalten
- $|x_1, x_2, x_3\rangle = |\vec{x}\rangle$  VONS von gemeinsamen Eigenvektoren von  $\mathbf{x}_k$
- ► kontinuierliche Eigenwerte:  $\vec{x} \in \mathbb{R}^3$ ,  $\langle \vec{x} \mid \vec{y} \rangle = \delta^{(3)}(\vec{x} \vec{y})$
- Vollständigkeit

$$\int_{\mathbb{R}^2} \mathbf{d}^3 x \, |\vec{x}\rangle \, \langle \vec{x}| = \mathbb{1}$$

#### Wellenmechanik

► Schrödinger: Wellenfunktion Ortsdarstellung der Zustandskets

$$\psi(\vec{x}) = \langle \vec{x} | \psi \rangle \Leftrightarrow |\psi\rangle = \int_{\mathbb{R}^3} d^3x |\vec{x}\rangle \langle \vec{x} | \psi \rangle$$

- ▶  $dP = d^3x |\psi(x)|^2$  ist Wahrscheinlichkeit, das Teilchen in einem Volumenelment  $d^3x$  um die Stelle  $\vec{x}$  zu detektieren
- ightharpoonup Wellenfunktionen bilden Hilbertraum der quadratintegrablen Funktionen L<sup>2</sup>( $\mathbb{R}^3$ )
- Skalarprodukt

$$\langle \psi_1 | \psi_2 \rangle = \int_{\mathbb{R}^3} d^3 x \langle \psi_1 | \vec{x} \rangle \langle \vec{x} | \psi_2 \rangle = \int_{\mathbb{R}^3} d^3 x \psi_1^*(\vec{x}) \psi_2(\vec{x})$$

Orts- und Impulsoperatoren:

$$\vec{\mathbf{x}}\psi(\vec{x}) = \langle \vec{x} \mid \vec{\mathbf{x}}\psi \rangle = \langle \vec{\mathbf{x}}\vec{x} \mid \psi \rangle = \vec{x}\langle \vec{x} \mid \psi \rangle = \vec{x}\psi(\vec{x}), \quad \vec{\mathbf{p}}\psi(\vec{x}) = \langle \vec{x} \mid \vec{\mathbf{p}}\psi \rangle = -i\hbar\nabla\psi(\vec{x})$$

erst 1D-Bewegung in "Kastenpotential"

$$V(x) = \begin{cases} 0 & \text{für } |x| < a/2, \\ \infty & \text{sonst.} \end{cases}$$

► Hamilton-Operator:

$$\mathbf{H} = \frac{1}{2m}\mathbf{p}^2 + V(\mathbf{x})$$

► Energie-Eigenzustände

$$\mathbf{H} u_n(x) = E_n u_n(x) \Rightarrow -\frac{\hbar^2}{2m} u_n''(x) = E_n u_n(x) \Rightarrow u_n''(x) = -k_n^2 u_n(x), \quad k_n = \sqrt{2mE_n}/\hbar$$

- ▶ Randbedingungen: u(a/2) = u(-a/2) = 0, damit konsistent mit u(x) = 0 für x > |a|
- Lösungen der DGL

$$u_n(x) = A\sin(k_n x) + B\cos(k_n x)$$
 mit  $k_n = \sqrt{2mE_n}/\hbar$ 

- Symmetrie unter Raumspiegelungen  $x \rightarrow -x \Rightarrow$  Eigenfunktionen können als symmetrisch/antisymmetrisch gewählt werden
- $ightharpoonup \mathbf{P} u_n(x) = u_n(-x) = \pm u_n(x)$ : "Parität"
- gerade Eigenfunktionen:

$$u_n^{(+)}(x) = A\cos(k_n x)$$

 $u_n^{(+)}(a) = u_n^{(+)}(-a) = 0 \Rightarrow k_n^{(+)}a \in \{\pi/2, 3\pi/2, ...\}, \text{ also}$ 

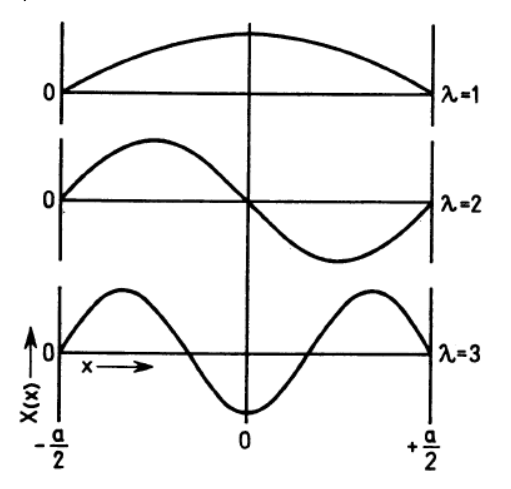
$$k_n^{(+)} = k_n = \frac{n\pi}{a}, \quad n \in \{1, 3, 5, \ldots\}$$

- Normierung:  $\langle u_n | u_n \rangle = 1 \Rightarrow A = \sqrt{2/a}$
- analog: ungerade Eigenfunktionen

$$u_n^{(-)} = \sqrt{\frac{2}{a}\sin(k_n^{(-)}x)}, \quad k_n^{(-)} = k_n = \frac{n\pi}{a}, \quad n \in \{2, 4, 6, \ldots\}.$$

im Folgenden:  $u_n^{\pm} = u_n$  (Parität  $P = (-1)^{n+1}$ )

- ► Energie-Eigenfunktionen
- ▶ NB: Wellenfunktion mit Quantenzahl  $n \in \mathbb{N}$  hat (n-1) Nullstellen (+ die beiden am Rand bei  $x = \pm a/2$ )



► Hamiltonoperator

$$\mathbf{H} = \frac{1}{2m} \vec{\mathbf{p}}^2 + V(\vec{x}), \quad V(\vec{x}) = \begin{cases} 0 & \text{für } \vec{x} \in [-a/2, a/2] \times [-a/2, a/2] \times [-a/2, a/2], \\ \infty & \text{sonst} \end{cases}$$

Eigenfunktionen

$$u_{n_1,n_2,n_3}(\vec{x}) = u_{n_1}(x_1)u_{n_2}(x_2)u_{n_3}(x_1)$$

► Energieeigenwerte

$$E_{n_1, n_2, n_3} = \frac{\hbar^2}{2m} \sum_{i=1}^3 k_{n_i}^2 = \frac{\hbar^2 \pi^2}{a^2} \sum_{i=1}^3 n_i^2$$

### Teilchen im 3D Kasten: Zustandsdichte

- ▶ "Impuls":  $\vec{p}_{n_1,n_2,n_3} = \hbar \vec{k}_{n_1,n_2,n_3} = \frac{\hbar}{a}(n_1, n_2, n_3)$
- ▶ NB:  $\vec{\mathbf{p}} = -i\hbar \vec{\nabla}$  NICHT selbstadjungiert (nur hermitesch)! s. [Heel5], S. 93ff
- ightharpoonup in Impulsvolumen  $d^3p$  sind

$$\mathrm{d}n = \frac{a^3}{(\pi\hbar)^3} \mathrm{d}^3 p, \quad p_j > 0$$

Zustände

▶  $\vec{p}$  in Kugeloktant mit  $p_j > 0$  erlaubt. Nimmt man volle Kugel für  $\vec{p}$ , ergibt sich ein zusätzlicher Faktor  $1/8 = 1/2^3$ :

$$dn = \frac{a^3}{(2\pi\hbar)^3} d^3p = \frac{V}{(2\pi\hbar)^3} d^3p, \quad \vec{p} \in \mathbb{R}^3.$$

- Phasenraumvolumenelement der Größe  $(2\pi\hbar)^3 = h^3 = genau 1$  Zustand
- wegen  $E = p^2/(2m)$  bzw.  $p = \sqrt{2mE}$  ergibt sich Zustandsdichte bzgl. der Energie

$$d^3p|_E = 4\pi p^2 dp = 4\pi \sqrt{2m^3 E} dE \Rightarrow dn = m^{3/2} \frac{V\sqrt{E}}{\sqrt{2\pi^2 \hbar^3}} dE$$

Literatur (+Quelle aller Abbildungen) [MK02]

## Ideales Fermi-Gas bei T = 0 im Potentialtopf

- Gas aus N nicht wechselwirkenden Fermionen mit Spin S(=1/2) im Topf bei Temperatur T=0
- ightharpoonup vollständiger Satz von Observablen für 1 Teilchen:  $\vec{p}$  (Impuls) und  $\mathbf{s}_z$
- VONS:  $|\vec{p}, m_s\rangle$  mit  $\vec{p} \in \mathbb{R}^3$ ,  $s_z = m_s \hbar$  mit  $m_s \in \{1/2, -1/2\}$
- Fermionen: "Pauli-Verbot" in jedem Phasenraumvolumenelement können sich maximal 2S + 1 = 2 identische Fermionen aufhalten
- ► T = 0: Gas im Grundzustand  $\Rightarrow N$  Fermionen füllen von unten die Einteilchenenergiezustände auf  $\Rightarrow E_{\rm F}$  Fermienergie

$$N = (2S+1) \int_{0}^{E_{\rm F}} dE \frac{dn}{dE} = (2S+1)\sqrt{2}m^{3/2} \frac{V E_{\rm F}^{3/2}}{3\pi^2 \hbar^3}$$

► Fermi-Energie

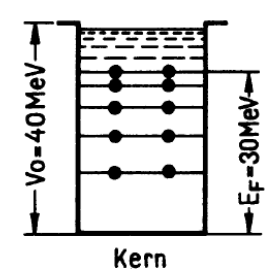
$$E_{\rm F} = \frac{1}{[2(2S+1)^2]^{1/3} m} (3\pi^2)^{2/3} \hbar^2 \left(\frac{N}{V}\right)^{2/3}$$

- ▶ Kern besteht aus A Nukleonen: Z Protonen und N = A Z Neutronen
- ▶ empirisch (z.B. Elektronstreuung an Kernen): Nukleonendichte ~ const innerhalb des Kerns unabhängig von  $A \Rightarrow V \propto A$
- ► Kugelförmiger Kern mit Kernradius  $R = r_0 A^{1/3}$ ,  $r_0 \simeq 1,25$  fm,  $V = 4\pi R^3/3 = 4\pi r_0^3 A/3$
- eigentlich kompliziertes Vielteilchenproblem wechselwirkender p und n
- ► Drastische Vereinfachung: einzelnes Nukleon spürt konstantes Potential, verursacht von allen anderen Nukleonen (endlich hoher Potentialtopf)
- Nukleon-Potential gleich für p und n
   (abgesehen von em. Coulombwechselwirkung für p)

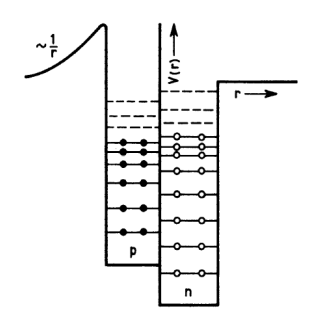
- Kern aus A Nukleonen
- ► Stabilität gegen  $\beta$ -Zerfall:  $E_{\rm Fp} \simeq E_{\rm Fn} = E_{\rm F} \Rightarrow N \simeq Z = A/2$

$$E_{\rm F} = \frac{1}{2m} (3\pi^2)^{2/3} \hbar^2 \left(\frac{A}{2V}\right)^{2/3} = \frac{3^{4/3} \pi^{2/3} (\hbar c)^2}{m c^2 r_0^2} \simeq 30 \,\text{MeV}$$

- $\hbar c \simeq 0.197 \,\text{GeV fm}, \, m \, c^2 = 0.938 \,\text{GeV}, \, r_0 \simeq 1.25 \,\text{fm}$
- ► Separationsenergie  $\simeq 8 \text{ MeV} \Rightarrow V_0 \simeq 40 \text{ MeV}$



- bis jetzt: nur starke Wechselwirkung berücksichtigt
- ► starke Wechselwirkung: "ladungsunabhängig" ⇒ NN-Wechselwirkung für pp, np, nn gleich ⇒ Potentialtöpfe im Fermi-Modell für p und n gleich
- ► aber Protonen elektrisch geladen ⇒ abstoßendes Coulomb-Potential ⇒ Protonen weniger stark gebunden als Neutronen



▶ üblicherweise  $N \gtrsim Z$  (für  $\beta$ -stabile Kerne)

▶ totale Energie eines kalten Fermi-Gases mit N Teilchen

$$\begin{split} E_{\text{tot}} &= (2S+1) \int_{0}^{E_{\text{F}}} \mathrm{d}E \, E \, \frac{\mathrm{d}n}{\mathrm{d}E} = (2S+1) \int_{0}^{E_{\text{F}}} m^{3/2} \frac{V \sqrt{E}^{3}}{\sqrt{2}\pi^{2}\hbar^{3}} = \frac{\sqrt{2}m^{3/2}V(2S+1)}{5\pi^{2}\hbar^{3}} E_{\text{F}}^{5/2} \\ &= \frac{3(3\pi^{2})^{2/3}\hbar^{2}}{5 \cdot 2^{1/3}m(2S+1)^{2/3}} \frac{N^{5/3}}{V^{2/3}} \end{split}$$

• definiere (a la Mayer-Kuckuck, Kernphysik) mit  $V = 4\pi A r_0^3/3$ )

$$C_3 = \frac{9 \cdot 3^{1/3} \pi^{2/3} \hbar^2}{10 m [2(2S+1)]^{2/3} r_0^2} \Rightarrow E_{\text{tot}} = C_3 A^{-2/3} N^{5/3}$$

► Energie für Modell mit  $N \neq Z$  (wobei hier N = A - Z!)

$$E_{\rm T} = C_3 A^{-2/3} (N^{5/3} + Z^{5/3})$$

• für symmetrisches Modell: N = Z = A/2

$$E_{\rm T}^{\rm (symm)} = 2C_3A^{-2/3} \left(\frac{A}{2}\right)^{5/3}$$
.

- Asymmetrie-Energie: mit  $T_Z = (Z N)/2$  (Hälfte des negativen Neutronenüberschusses)
- NB:  $T_Z = [(Z (A Z))]/2 = Z A/2$

$$\Delta E = E_{\rm T} - E_{\rm T}^{\rm (symm)} = C_3 A^{-2/3} \left[ \left( \frac{A}{2} - T_Z \right)^{5/3} + \left( \frac{A}{2} + T_Z \right)^{5/3} - 2 \left( \frac{A}{2} \right)^{5/3} \right]$$

 $\triangleright$  Entwicklung nach kleinen  $T_Z/A$  (Binomialformel)

$$\Delta E = C_3 A \left[ \left( \frac{1}{2} - \frac{T_Z}{A} \right)^{5/3} + \left( \frac{1}{2} - \frac{T_Z}{A} \right)^{5/3} - 2^{-2/3} \right] = \frac{10}{9} 2^{1/3} C_3 \frac{T_Z^2}{A}$$

## Bibliography I

- [Fic79] E. Fick, Einführung in die Grundlagen der Quantentheorie, Aula-Verlag, Wiesbaden, 4 ed. (1979).
- [Hee15] H. v. Hees, Grundlagen der Quantentheorie, I. Teil: Nichtrelativistische Quantentheorie, FAQ der Newsgroup de.sci.physik (2015). URL https://itp.uni-frankfurt.de/~hees/faq-pdf/quant.pdf
- [MK02] T. Mayer-Kuckuck, Kernphysik Eine Einführung, B. G. Teubner, Stuttgart, Leipzig, Wiesbaden, 7 ed. (2002). URL https://doi.org/10.1007/978-3-322-84876-5
- [ST93] J. J. Sakurai, S. Tuan, Modern Quantum Mechanics, Addison Wesley (1993).